• 病例报道 •

盆腔脂肪增多症一例

衣利磊,王焕军,关键

【中图分类号】R445.2; R814.42; R69 【文献标识码】D 【文章编号】1000-0313(2013)09-0233-02

【关键词】 盆腔脂肪增多症; 体层摄影术, X 线计算机; 磁共振成像

盆腔脂肪增多症是一种原因未明的罕见良性疾病。由 Engels 于 1959 年最早报道,1968 年由 Fogg 和 Smyth 正式命名^[1]。本文报道1例具有全面影像学资料并经手术证实的盆腔脂肪增多症。

病例资料 患者,男,52 岁,因下腹坠胀感 1 年余,进行性加重就诊。起病以来尿频、尿急,尿流中断、尿线较细,无肉眼血尿;大便次数增多,每次便量减少,无黑便、血便;无胸闷、气促,无畏寒、发热。查体:患者为正力型,体重 72 kg,身高1.71 m,体重指数为 24.6 kg/m²。腹软、饱满,未触及明显包块,无压痛、叩击痛及反跳痛。直肠指检:前列腺轻度增生,无压痛;肛门括约肌张力正常。

腹部 B 超示双肾增大,双肾慢性肾病声像;双肾中度积液伴双输尿管上段扩张。静脉肾盂造影(intravenous pyelogram, IVP)示双侧输尿管中或下段梗阻。膀胱造影:经尿道置管后,注射对比剂充盈膀胱,膀胱下半部先充盈,继续灌注对比剂后见膀胱完全显影,膀胱形态异常,呈"倒葫芦状"(图 1)。CT增强扫描行延迟期 MPR 重组,见双侧肾盂、肾盏扩张积液;双侧输尿管纡曲、扩张,下端呈鸟嘴样变窄;膀胱变形、体积减小(图

2);MRI 平扫示双侧肾盂、肾盏扩张积液,双侧输尿管扩张并下端鸟嘴样变窄,盆腔内多量脂肪沉积,分布于膀胱、直肠周围, T_1 WI、 T_2 WI 呈明显高信号, T_2 WI 抑脂像呈稍高信号,膀胱受压变形、体积减小(图 $3a\sim c$);磁共振尿路成像 (magnetic resonance urography,MRU)示双侧肾盂肾盏扩张、积液,双侧输尿管显著纡曲、扩张,下端鸟嘴样变窄,管壁光整,膀胱变形、体积较小、位置抬高(图 3d)。综合影像资料,该例符合盆腔脂肪增多症典型改变。

手术所见:盆腔脂肪明显增多,局部组织粘连紧密,膀胱被推挤变形固定,双侧输尿管下段被脂肪组织包裹、粘连,无法观察,上段输尿管扩张。适当清除双侧输尿管周围、膀胱周围及腹膜后脂肪,离断双侧输尿管下段后行输尿管膀胱再植术。取活检病理结果为纤维脂肪组织。术后随访6个月,患者症状明显减轻,效果良好。

讨论 盆腔脂肪增多症是一种大量脂肪组织堆积于盆腔 内直肠和膀胱周围,挤压、包绕及牵拉局部脏器使之变形、移位,从而产生以泌尿系统和下消化系统症状为主的良性病变。 本病好发于20~60岁男性,常见于不同程度肥胖体型患者,也

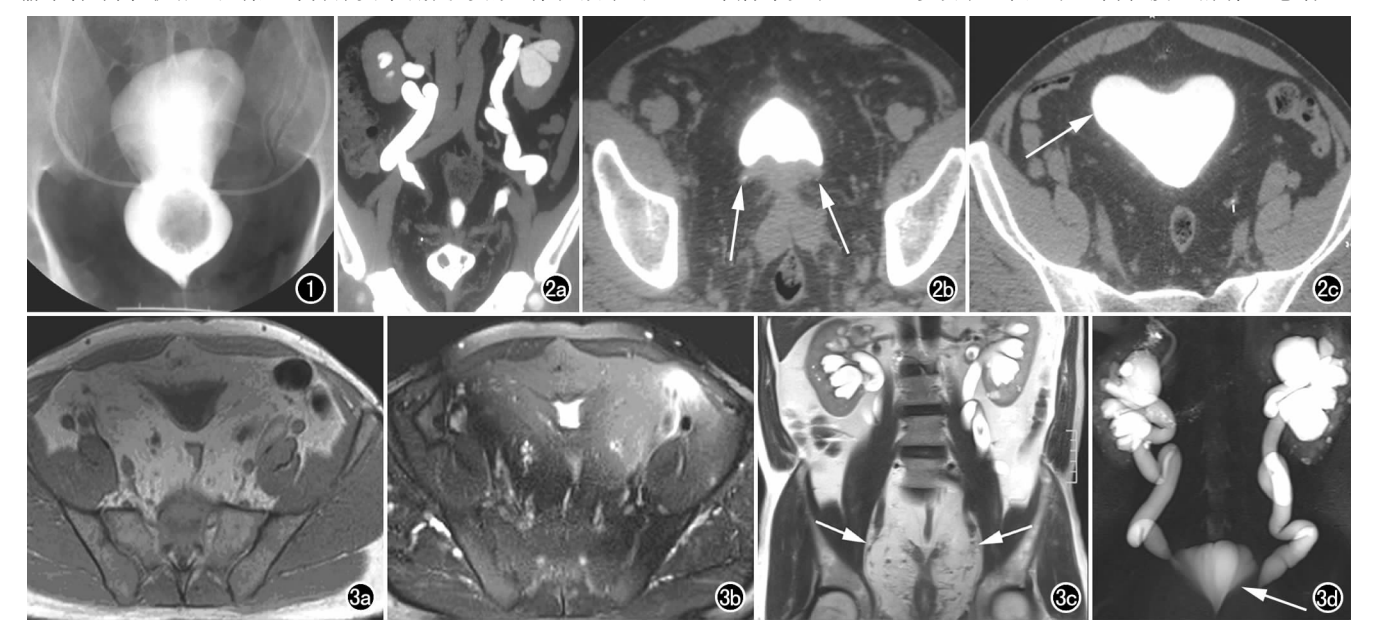


图 1 膀胱造影示膀胱变形,呈"倒葫芦状",膀胱两侧密度减低。 图 2 CT 增强扫描延迟期图像。a) 冠状面重组示双侧肾盂、肾盏扩张积液;双侧输尿管纡曲、扩张,下端呈鸟嘴样变窄;膀胱变形、体积减小;b) 横轴面图像示输尿管下端明显变窄 (箭);c) 横轴面图像示膀胱受压变形,周围见脂肪密度影,边界不清(箭)。 图 3 MRI 检查。a) 横轴面 T_1 WI 示膀胱变形、体积较小,盆腔内脂肪沉积呈高信号;b) 横轴面 T_2 WI 抑脂序列图像,抑脂欠均匀,可见盆腔脂肪和皮下脂肪均被抑制;c) 冠状面 T_2 WI 示双侧输尿管扩张并下端鸟嘴样变窄,膀胱变形,盆腔内多量脂肪沉积(箭);d) MRU 示双侧肾盂、肾盏扩张积液;双侧输尿管纡曲、扩张,下端呈鸟嘴样变窄;膀胱变形、体积减小(箭)。

有学者认为本病与肥胖无关^[2]。其病因尚不明确,有研究推测盆腔炎症、淋巴管阻塞、先天性静脉血管的异常或为系统性疾病的一部分。亦有研究发现遗传基因 HMGI-C 与之有关^[3]。

盆腔脂肪增多症临床表现无特异性,其诊断亦不依赖病理 学检查,影像学检查是诊断本病的重要依据。腹部 X 片示"盆 腔透明"征,IVP示双侧输尿管纡曲、移位、扩张,双肾盂肾盏扩 张、积液[4]。膀胱造影示膀胱呈"倒葫芦状"或"倒置水滴状"。 钡灌肠可见直肠伸直,远段乙状结肠伸直抬高,管腔变细。 Moss 等[5] 归纳出盆腔脂肪增多症的三联征:盆腔透亮征;膀胱 变形,位置抬高;乙状结肠受压伸直和输尿管向正中移位。对 该病的显示 CT 明显优于 X 线, CT 可见膀胱直肠周围大面积 的低密度脂肪影,CT 值一般为-100~40 HU,并可显示膀胱、 直肠、乙状结肠及前列腺受压移位、变形情况,同时清楚显示双 侧输尿管及肾盂扩张积水。MRI 诊断盆腔脂肪增多症较敏感, 其优势在于能清楚显示盆腔膀胱周围呈短 T1、长 T2 信号的脂 肪组织,这为该病的特征性征象,此亮白高信号在抑指序列上 呈均匀低信号。MRI 可三维任意平面成像,从不同角度显示异 常增多的指肪对膀胱等盆腔脏器的压迫情况。MRU对显示双 侧输尿管、肾盂扩张积水及狭窄段位于输尿管下段膀胱入口处 形态的效果较好。MRI还可进行膀胱-直肠、乙状结肠形态指 数的测量[6]。

本例患者膀胱造影及 CT、MRI 检查清楚显示盆腔内大量脂肪组织堆积及膀胱受压、变形的典型改变,结合其临床症状,不难做出诊断。盆腔脂肪增多症在影像学上主要同盆腔内的脂肪瘤、脂肪肉瘤、畸胎瘤进行鉴别。脂肪瘤和畸胎瘤边缘清晰,范围局限,常无特异性的膀胱形态改变;脂肪肉瘤分化较

差,内部常有实性软组织成分,可有周围组织侵犯的征象。盆腔脂肪增多症呈对称性分布,边界不清,无明确肿块。

影像检查不仅可发现或提示盆腔脂肪增多症,还可观察病变的进展情况,尤其是输尿管的梗阻情况,以利临床判断病情,以做出必要的对症处理。因盆腔脂肪增多症为良性病变,对于无上尿路梗阻及肾功能不全者,可随访观察或行保守治疗,如出现上尿路梗阻,应积极手术干预。手术治疗的理想术式是盆腔脂肪清除术,同时可行双侧输尿管膀胱再植术等[7]。

参考文献:

- [1] Foggle LB, Symth JW. Pelvic lipomatosis: a condition simulating pelvic neoplasm[J]. Radiology, 1968, 90(3): 558-564.
- [2] Heyns CF. Pelvic lipomatosis: a review of its diagnosis and management[J]. Urol, 1991, 146(2): 267-273.
- [3] Tong RS, Larner T, Finlay M, et al. Pelvic lipomatosis associated with proliferative cystitis occurring in the brothers[J]. Urology, 2002,59(4):602.
- [4] 李彬. 盆腔脂肪增多症—例[J]. 影像诊断与介人放射学,2010,19 (3),133.
- [5] Moss AA, Clark RE, Goldberg HE, et al. Pelvic lipomatosis; a roentgenographic diagnosis[J]. AJR, 1972, 115(2):441.
- [6] 周良平,蒋学祥,王霄英,等. 盆腔脂肪增多症的 MRI 诊断[J]. 中国医学影像技术,2003,19(4):450-453.
- [7] 周祥福,高新,方友强,等. 盆腔脂肪增多症诊治分析[J]. 中华泌尿外科杂志,2005,26(2):125-129.

(收稿日期:2013-01-23)

医疗设备维修培训班长期招生通知

随着医疗行业的快速发展,大量高科技医疗设备在各级医院广泛使用,这些设备技术复杂,临床依赖度大、维修保养成本高昂。为保障设备正常运行、节约维修运行成本,医院迫切需要实用型维修技术人才。

医疗器械维修作为一个新兴的高科技工种,具备技术复杂、技能要求高、知识涵盖面广等特点,为满足社会需求、推进医疗器械维修技术发展,西安彩虹医械技术培训中心、西安职业技能教育研究院联合行业高级工程技术人员、院校专家学者共同合作,开展医疗器械的维修技术培训、实践技能实训。

西安职业技能教育研究院是由西安市劳动和社会保障局批准成立,专业从事于职业技能教育研究、新职业、新技能教学研发和教学管理咨询,也是西安市政府指定的高级技术工种的考核认证点之一。

培训中心位于西安航空学院医电专业主教学楼付一层,以技能实训为主要方式。实训设备包括螺旋 CT、500 毫安拍片机、600 毫安胃肠机、彩超、黑白超、多参数监护仪、心电图机、全自动生化仪、麻醉机、呼吸机、激光相机以及编程器、集成电路在线测试仪、信号发生器等各种测试仪器上百台实验设备,聘请学院专家教授及 10 年以上医疗器械专业工程师进行授课,讲一学二练三,注重实践动手能力的培养,在社会上取得了良好的反应和口碑。

培训的详细情况可登陆医疗维修在线网站:http://www.medicaL007.com 了解,学员也可根据自己情况选择单门维修培训,目前短期班培训项目只有 CT。本次培训费用仅包括课程费用(聘请教授、工程师、教室使用、教材 设备操作等);不包括食宿、考试认证费用。欢迎感兴趣的学员来电咨询。

联系人: 王丽娟 联系电话:15114811667

邮箱:150378126@qq.com 在线 QQ:150378126